

# بررسی وضعیت ساختاری ناحیه معدنی هیرد (جنوب بیرجند) با استفاده از تفسیر داده‌های مغناطیس هوایی، ماهواره‌ای و مشاهدات صحرایی و ارتباط آن با کانه‌زایی طلا

نوشته: محمدعلی قربانی<sup>\*</sup>، محمد محل<sup>\*\*</sup>، محسن پورکرمانی<sup>\*\*\*</sup>، مصطفی علیمحمدی<sup>\*</sup> و حسن خیرالهی<sup>\*\*\*\*</sup>

<sup>\*</sup>دانشگاه شهید بهشتی، دانشکده علوم زمین، تهران، ایران

<sup>\*\*</sup>گروه زمین‌شناسی دانشگاه تربیت مدرس، تهران، ایران.

<sup>\*\*\*</sup>دانشگاه آزاد اسلامی، واحد تهران شمال، تهران، ایران.

<sup>\*\*\*\*</sup>سازمان زمین‌شناسی و اکتشافات معدنی کشور، تهران، ایران

تاریخ پذیرش: ۱۳۸۶/۱۱/۲۰ تاریخ دریافت: ۱۳۸۷/۰۷/۰۹

## چکیده

ناحیه معدنی هیرد در خاور خرد قاره ایران مرکزی و حاشیه خاوری پهنه زمین درز سیستان با راستای شمال باخترا-جنوب خاور با پیچیدگی‌های ساختاری زیاد، محل تشکیل چند کانسال معدنی مهم بوده و از این لحاظ مطالعه آن از اهمیت چشمگیری برخوردار است. در این مقاله، به مطالعه و تفسیر داده‌های مغناطیس هوایی و ماهواره‌ای موجود در کنار مشاهدات صحرایی برای بررسی ساختارهای سطحی و زیرسطحی و ارتباط آنها با عارضه‌های ساختاری عمده و تأثیرگذار در ناحیه (مانند پهنه زمین درز سیستان)، پرداخته شده است.علاوه بر این، پیوستگی واحدهای زمین‌شناسی و ساختاری باسن اتوس و جوانتر که در بخش‌هایی توسط سنگ‌پوشی مرکب از نهشته‌های آبرفتی و خاک پوشیده شده نیز مورد تحقیق قرار گرفته است. در مرحله پردازش داده‌های مغناطیس هوایی، فیلترهای برگردان به قطب و مشتق قائم اول اعمال شده است. برای پردازش داده‌های سنجنده ASTER و بازسازی شکستگی‌ها نیز از فیلترهای بالاگذر بازرس کننده لبه استفاده شده است. تفسیر داده‌های مغناطیس هوایی گویای وجود دورنده ساختاری اصلی شمال-جنوب و شمال باخترا-جنوب خاور در منطقه می‌باشد که این روندهای جهت‌گیری بخش شمالی پهنه زمین درز سیستان پیروی می‌نمایند. جالب توجه وجود رگه‌های کانه‌دار و پهنه‌هایی برشی-گسلی کانه‌دار و دگرسان شده در همین روندها و در محدوده همین شکستگی‌ها با محل کانه‌زایی هانطبق خوبی نشان می‌دهد. از دیگر نتایج مطالعه داده‌های مغناطیس هوایی، باید به وجود یک ناهنجاری مغناطیسی حلقوی در خاور محدوده اشاره نمود که در بخش‌های باخترا، این ناهنجاری به شدت متأثر از ساختارهایی با روند NW شده و رخداد کانه‌سازی به صورت رگه‌های سیلیسی طلادر و نیز همین شکستگی‌ها برشی گسل، ها در همین محدوده به وقوع پیوسته است. تفسیر داده‌های ماهواره‌ای در کنار مشاهدات و اندازه‌گیری‌های صحرایی به عمل آمده از شکستگی‌ها و گسل‌های سطحی، علاوه بر تأیید و ابطاق نسبی با دو روند ساختاری مذکور، دلالت بر وجود سومین روند ساختاری مهم شمال خاور-جنوب باخترا در منطقه دارد که این روند اثر بسیار ضعیفی در نقشه مغناطیس هوایی از خود بر جای گذاشته است.

## کلیدواژه‌ها:

### -۱- مقدمه

طول جغرافیایی  $59^{\circ} 0' 0''$  تا  $59^{\circ} 15' 0''$  خاوری در فاصله  $105$  کیلومتری جنوب بیرجند واقع شده است. این ناحیه از نظر تقسیم‌بندی ایالت‌های ساختاری پوسته ایران زمین در حاشیه شمال خاوری پهنه لوت و منتهی‌الیه باخترا زمین درز سیستان (Sistan suture zone) قرار گرفته است. پهنه زمین درز سیستان، در خاور ایران و با راستای کلی شمال - جنوب، در واقع پهنه‌ای برخوردي است که حاصل بسته‌شدن باریکه اقیانوسی خاور ایران بین پهنه لوت و قطعه افغان در انتهای مزوزوییک - ابتدای ترشیر است (Tirrul et al., 1983). بر اساس نقشه زمین‌شناسی - معدنی با مقیاس  $1:20000$  هیرد (عسکری و صفری، ۱۳۸۲)، واحد شیلی - ماسه‌سنگی ژوراسیک، قدیمی‌ترین رخنمون سنگی منطقه است که با یک دگرگشی به توالی رسوبی کرتاسه بالایی شامل واحدهای شیلی، کنگل‌مرایی، ماسه‌سنگی، آهکی - مارنی، توفهای آهکی و آهک ماسه‌ای تبدیل می‌شود. این توالی رسوبی، توسط یک کنگل‌مرایی قاعده‌ای پالئوسن و یک کنگل‌مرایی قاعده‌ای اتوس به توالی ماگمایی ترشیر (شامل سنگ‌های آتششانی و نفوذی) متصل می‌شود. توده‌های نفوذی با ترکیب گرانودیبوریت، کوارتز‌موزوپیک و گابرو - نوریت با سن پس از اتوس، در قسمتی از واحدهای آتششانی منطقه که به طور عمده دارای ترکیب آندزیت و توف هستند نفوذ نموده و در مواردی موجبات ایجاد دگرسانی و کانه‌زایی طلا را فراهم آورده‌اند. عمده منطقه مورد بررسی، در همین توالی آتششانی -

امروزه داده‌های مغناطیس هوایی (Aeromagnetic data) ایزار بسیار مفیدی در مطالعات زمین‌شناسی بویژه در زمینه مطالعه کانسالهای معدنی به شمار می‌روند. این داده‌ها به دلیل نمایش تغییرهای میدان مغناطیسی ناشی از رخسارهای زمین‌شناسی، در ردبایی و مطالعه فرایندهای زمین‌شناسی رخ داده در زمین نقش منحصر به فردی دارند. این نقش بویژه در مناطق پوشیده از آبرفت به طور مشخص بارز می‌شود. از جمله رخسارهای قبل شناسایی با استفاده از داده‌های مغناطیس هوایی می‌توان به تعیین محل و گستره عمقی توده‌های نفوذی پنهان، مناطق دگرسانی، مناطق برشی، شکستگی‌های بی‌سنگی و در کل بررسی وضعیت زمین ساختی و مطالعه ارتباط آن با کانه‌زایی اشاره نمود. از آنجا که بخشی از محدوده مورد مطالعه از آبرفت پوشیده شده است و در بعضی قسمت‌ها نیز ماهیت سنگ‌شناسی و پدیده فرسایش، امکان مشاهده مستقیم ساختارهای زمین‌شناسی را با مشکل مواجه می‌کند؛ بنابراین استفاده از داده‌های مغناطیس هوایی در کنار داده‌های ماهواره‌ای ناحیه معدنی هیرد می‌تواند نقشی مهم در مطالعه ساختارهای سطحی و زیرسطحی عمده در منطقه و ارتباط آنها با عارضه‌های ساختاری اصلی و ناحیه‌ای، داشته باشد.

### -۲- زمین‌شناسی ناحیه‌ای

ناحیه معدنی هیرد بین عرض جغرافیایی  $54^{\circ} 54' 0''$  تا  $59^{\circ} 31' 0''$  شمالی و

ناحیه‌ای با طول موج بلند و تداخل بین بی‌هنچاری‌های مجاور از فیلتر مشتق قائم استفاده می‌شود. مشتق قائم در واقع یک فیلتر بالاگذر (High pass) است زیرا بسامدهای بالا را نسبت به بسامدهای پایین افزایش می‌دهد. در نتیجه اثر بی‌هنچاری‌های بزرگ (بی‌هنچاری‌های بزرگ مغناطیسی دارای طول موج بلند و بسامد پایین هستند)، که مربوط به منابع ژرف و منطقه‌ای هستند بر روی بی‌هنچاری‌های کوچک از بین رفته و بی‌هنچاری‌های کوچک و محلی به خوبی نمایان می‌شوند (Silva, 2003 & Neawsuparp et al., 2005) (شکل ۲-ب).

#### ۴-۱. استخراج خطواره‌های مغناطیسی

در یک حالت عادی، عارضه‌های زیر معنکس کننده یک منطقه دگرگشکلی در نقشه‌های مغناطیسی هوایی هستند (Korhonen et al., 2004) (الف). نواحی خطی و باریک دارای مغناطیسی پایین (رنگ آبی) که یکی از معمول‌ترین حالات در نقشه‌های مغناطیسی هوایی است و معرف مناطق دارای دگرگشکلی شکننده است. به عبارتی یک پهنه مغناطیسی باریک خطی باشد پایین که به دلیل هوازدگی در طول سطح گسل خوردگی به وجود آمده و کانی‌های مغناطیسی در اثر اکسیداسیون به کانی غیر مغناطیسی تبدیل گشته‌اند. دو طرف این پهنه باریک و خطی، می‌تواند ویژگی مغناطیسی مشابهی داشته باشد.

(ب) نواحی خطی و باریک دارای مغناطیسی بالا (رنگ بنفش) که ممکن است در اثر وجود یک عامل خارجی قطع شده باشد؛ می‌تواند مربوط به کانی‌های مغناطیسی رسوب کرده در سطح گسل باشد.

(پ) قطع ناگهانی در عمق منابع مغناطیسی

ت) ناپیوستگی / جایه‌جایی در ناهنجاری‌های مغناطیسی به صورت آشفته که از ناشنگرهای بسیار ساختاری یک پهنه دگرگشکلی هستند.

(ج) جایه‌جایی واضح و تند در ناهنجاری‌های مغناطیسی که نشان‌دهنده پهنه‌های برشی شکننده یا همان گسل‌ها هستند.

(چ) پله‌های مغناطیسی که بیانگر همیری‌های دارای خردش‌گی بالای واحدهای سنگی مختلف هستند.

در این گونه مطالعات، وجود تغییرهای یکنواخت و کم و بیش آرام در ژرفای پی‌سنگ مغناطیسی در منطقه، می‌تواند به نوعی گویای اثر ضعیف گسل‌ها در ایجاد مؤلفه جایه‌جایی قائم و یا حتی نتیجه تغییر در خواص مغناطیسی مواد ژرفایی باشد. افزون بر این، ذکر این نکته ضروری است که به طور عموم ویژگی‌های مغناطیسی مناطق دگرگشکلی طی مراحل مختلف دگرگونی ممکن است دچار تغییر شوند.

در ارتباط با شناسایی شکنستگی‌ها به کمک داده‌های مغناطیسی هوایی، سه حالت کلی را می‌توان در نظر گرفت:

۱. خطواره‌های مغناطیسی شناسایی شده با گسل‌های تشخیص داده شده بر روی سطح هم‌خوانی دارد.

۲. برای خطواره‌های مغناطیسی شناخته شده، گسل هم‌خوانی بر روی سطح شناسایی نشده است. در این مورد دو حالت را می‌توان در نظر گرفت؛ در حالت اول ممکن است در نظر گرفتن این خطواره‌ها به دلیل تفسیر نادرست ناهنجاری‌ها بوده باشد، در حالت دوم ممکن است خطواره مغناطیسی در واقع وجود داشته ولی جایه‌جایی سطحی ایجاد شده با خطواره مغناطیسی فوق به طور دقیق منطبق نبوده و یا به دلیل پوشیده بودن محدوده از آبرفت و یا ماهیت سنگ‌شناسی منطقه، در اصل برداشت نشده است.

۳. گسل‌های شناخته شده بر روی زمین که هیچ‌گونه خطواره مغناطیسی هم‌خوانی بر روی داده‌های مغناطیسی هوایی برای آنها در نظر گرفته نشده است. برای این مورد هم

نفوذی واقع شده است. با توجه به بررسی‌های زمین‌شناسی - معدنی انجام شده در مقیاس ۱:۲۰۰۰ و نتایج حاصل از آن، در نهایت ۴ محدوده امید بخش معدنی (تارگت معدنی) در این منطقه، برای انجام ادامه عملیات اکتشافی پیشنهاد شده است. شکل ۱، جایگاه منطقه مورد مطالعه در شمال خاوری پهنه لوت، واقع در مجموعه واحدهای آتشفشاری - نفوذی ترشیری و واحدهای چین‌خورده مزوژوییک را نشان می‌دهد.

#### ۳- داده‌های مورد استفاده

برداشت‌های ژئوفیزیک هوایی به سه روش مغناطیسی‌سنجی، الکترومغناطیسی و رادیومتری (اورانیم، پتاسیم و توریم) در بخش‌هایی از برگه بصیران و جنوب مختاران توسط سازمان زمین‌شناسی و اکتشافات معدنی کشور در سال ۱۳۸۳ صورت گرفته است. این برداشت‌ها توسط هلی کوپتر و با ارتفاع پرواز ۶۰ متر از سطح زمین و فاصله خطوط پرواز ۲۵۰ متر و با آزمیوت ۲۹۰° در منطقه و به قصد عملیات اکتشافی انجام شده است. مغناطیسی‌سنج مورد استفاده در این برداشت از نوع بخار سزیم بوده که در هنگام برداشت در ارتفاع ۴۵ متری از سطح زمین قرار داشته است. برای شناسایی خطواره‌های مغناطیسی منطقه مورد مطالعه، از داده‌های شدت کل میدان مغناطیسی پس از اعمال فیلترهای مختلف در مرحله پردازش استفاده شده است.

برای شناسایی بهتر پهنه‌های بُرشی از جمله گسل‌های منطقه، از داده‌های سنجنده ASTER که از قدرت تفکیک طیفی بالایی برخوردارند، در کنار داده‌های ماهواره‌ای QuickBird-pan و IRS-pan که دارای قدرت تفکیک مکانی بالایی هستند، استفاده شده است.

#### ۴- پردازش داده‌های مغناطیسی هوایی

داده‌های مغناطیسی هوایی پردازش شده دارای اطلاعات با ارزشی برای تفسیر عوارض زیر سطحی هستند (Neawsuparp et al., 2005). یکی از مراحل پردازشی داده‌های مغناطیسی هوایی، محاسبه اثر مغناطیسی میدان International Geomagnetic References (واسته به میدان جاذبه زمین) (Field: IGRF) و حذف آن از داده‌های مغناطیسی مشاهده شده (شدت کل میدان مغناطیسی) است (Silva, 2003). با اعمال فیلترهای متفاوت بر روی اطلاعات، بررسی از جهات مختلف انجام گرفته و با در نظر گرفتن اطلاعات زمین‌شناسی، منطقه مورد تغییر و تفسیر قرار گرفته است. اولین فیلتر اعمال شده، فیلتر برگردان به قطب (Reduction To Pole) است. با استفاده از این فیلتر، میدان مغناطیسی از یک عرض مغناطیسی که در آن بردار میدان زمین مایل و شیبدار است به قطب مغناطیسی یعنی جایی که میدان القایی قائم است، منتقل می‌شود زیرا اگر میدان القایی مایل باشد شکل بی‌هنچاری‌های مغناطیسی که به صورت القایی به وجود آمده‌اند نسبت به منابع به وجود آورند نامتقارن خواهد بود ولی در صورتی که میدان القایی قائم باشد، بی‌هنچاری‌های به وجود آمده در اثر القاء مغناطیسی بر روی منع خودشان قرار می‌گیرند. لذا تفسیر اساسی داده‌های مغناطیسی هوایی به طور معمول بر روی تصاویر مختلف برگردان به قطب صورت می‌گیرد (شکل ۲-الف). اعمال این فیلتر با استفاده از زاویه میل (Inclination) و انحراف مغناطیسی (Declination) صورت می‌گیرد. مقدار این زوایا در منطقه مورد مطالعه به ترتیب ۵۰ و ۲/۶ درجه و مقدار میانگین IGRF برابر ۴۷۰۳۳ نانوتولسا بوده است. پس از اعمال فیلتر برگردان به قطب، فیلتر بالاگذر مشتق اول قائم (First vertical derivative) بر داده‌ها اعمال شده است. برای حذف اثرات

کواترنری پوشیده شده و شاهد سطحی در مورد آن موجود نیست. شایان ذکر است بخشی از کانی‌سازی در منطقه در بخش‌های باختری این ساختار و در واحدهای آتشفسانی و آذرآواری رخ داده است.

## ۵- استخراج شکستگی‌های منطقه بر اساس پردازش داده‌های ماهواره‌ای

نقشه‌برداری از الگوهای ساختاری و شکستگی‌ها یکی از کاربردهای مهم علم سنجش از دور است (Srivastav et al., 2000; Sabins, 1999) اغلب کانه‌زایی‌ها در مناطق با شکستگی بالا و بویژه در محل تلاقی این شکستگی‌ها اتفاق می‌افتد (Sabins, 1999). برای شناسایی بهتر پهنه‌هایی بر بشی از جمله گسل‌های منطقه، از داده‌های سنجنده ASTER که از قدرت IRS-pan تفکیک طیفی بالایی برخوردارند در کنار داده‌های ماهواره‌ای QuickBird که دارای قدرت تفکیک مکانی بالایی هستند، استفاده شد. در این مطالعه تصاویر سنجنده ASTER به شماره ۱۵۰۵۰۱ که توسط ماهواره Terra در تاریخ ۲۰۰۱/۰۵/۱۵ برداشت شده، مورد استفاده قرار گرفته است. این تصاویر از نظر پردازشی در تراز 1B قرار دارند که معادل داده‌های رادیانس در سنجنده به شمار می‌آیند. به منظور تبدیل به داده‌های انعکاسی و از بین بردن تأثیرات توپوگرافی و جوی، در مرحله پیش‌پردازش تصحیحات رادیومتریک روی این داده‌ها صورت گرفت. با توجه به این که در مناطق گسلی شدت تغییرات بالا است از فیلترهای بالاگذر (High pass filters) که عوارض باسما مد بالا را اجازه عبور می‌دهند؛ استفاده شده است. شناسایی خطواره‌ها بر روی تصویر ASTER با ترکیب باندی RGB=321 و با استفاده از روش تعديل هیستوگرام (Equalization Enhancement)، صورت گرفته است و برای تسهیل در تفسیر بصری با درصد صحت بیشتر، فیلتر بالاگذر آشکار کننده لبه (Edge Sharpening) با ضرایب ماتریس مختلف  $3 \times 3$  و  $5 \times 5$  و... بر روی این تصویر، اعمال شد (علیمحمدی و همکاران، ۱۳۸۵). مراحل پیش‌پردازش و پردازش به وسیله نرم افزارهای ENVI 4.1 و ERDAS IMAGING 8.5 است از داده‌های ماهواره‌ای IRS و QuickBird - سنجنده Panchromatic که به ترتیب دارای قدرت تفکیک مکانی  $5/8$  و  $0/61$  متر هستند، برای تفسیر بصری بهتر و نیز در مرحله عملیات صحرابی و رسم نهایی ساختارها استفاده شده است. پس از اعمال پردازش‌های مذکور، نقشه شکستگی‌های منطقه در محیط GIS رسم شده که در شکل ۴ به نمایش در آمد. با بررسی نمودار گل‌سرخی شکستگی‌های دارای جلوه سطحی در محدوده مورد مطالعه، نتیجه می‌شود که عده شکستگی‌ها به ترتیب در سه راستای مهر  $30^{\circ}-33^{\circ}$  درجه،  $40^{\circ}-47^{\circ}$  درجه و نیز NW-NW رخ داده‌اند (نمودار ۱-ب).

## ۶- بحث و نتیجه‌گیری

همان‌طور که پیش‌تر توضیح داده شد، در مورد بسیاری از شکستگی‌های شناسایی شده بر اساس داده‌های مغناطیس‌هایی، از طریق پردازش داده‌های ماهواره‌ای نیز شکستگی‌های مخوانی قابل تشخیص است. مقایسه دو نمودار گل‌سرخی رسم شده برای دو سری شکستگی‌ها، گویای همین واقعیت است. به این ترتیب که دو روند ساختاری N-S و NW-SE در منطقه به صورت ژرف و پی‌سنگی عمل نموده و اثر آنها پس از اعمال پردازش‌های مربوطه هم در داده‌های مغناطیس‌هایی

دو حالت می‌توان در نظر گرفت؛ ممکن است ناهنجاری‌های موجود بر روی نقشه گویای وجود خطواره‌ای باشد ولی در تفسیر به عمل آمده توجه کافی به آن نشده باشد و یا تشخیص آن دشوار بوده است. در این حالت با رسم گسل یا شکستگی از روی نقشه زمین‌شناسی دارای زمین مرجع (Georeferenced) یا تصاویر ماهواره‌ای می‌توان این کمبود را جبران نمود. هم‌چنین امکان دارد گسل‌های شناخته شده تأثیر مهمی بر روی پی‌سنگ نداشته باشد، به طور مثال در ژرف‌ای نزدیک به افق و حالت قاشقی (Listric) پیدا کنند که با توجه به فاصله خطوط پیمایش از هم‌دیگر، اثر این گونه گسل‌ها ممکن است به خوبی مشخص نشود.

بر اساس اصولی که بیان شد، اقدام به شناسایی و تفکیک خطواره‌های مغناطیسی در منطقه و ترسیم آنها در محیط GIS شده است. چنانچه در ادامه و در بخش تفسیر داده‌های دورستجی خواهیم دید، حالت اول و نیز بهدلیل وجود پوشش آبرفتی در شناسایی شده در ناحیه معدنی هیرد، حالت اول و نیز بهدلیل وجود پوشش آبرفتی در بخش‌هایی از منطقه و عملکرد فرایندهای فرسایشی در واحدهای آتشفسانی، حالت دوم صادق است.

در شکل ۳، خطواره‌های مغناطیسی شناسایی شده در ناحیه معدنی هیرد که با استفاده از نقشه شدت کل میدان مغناطیسی پس از اعمال فیلتر برگردان به قطب (RTP) و مشتق اول قائم به دست آمده؛ نشان داده شده است.

بر اساس نمودار گل‌سرخی (Rose diagram) (نمودار ۱-الف)، جهت‌گیری‌های عمدۀ این خطواره‌ها، ۳۱۰-۳۲۰ درجه و نیز N-S حاصل می‌شود.علاوه بر این خطواره‌هایی با جهت‌گیری ۰۶۰-۰۴۵ درجه نیز در نقشه مذکور دیده می‌شوند که از فراوانی زیادی برخوردار نیستند و ساختارهایی فرعی در منطقه محسوب می‌شوند که روندهای ساختاری شاخص منطقه را قطع نموده‌اند.

## ۴- ساختارهای دایره‌ای (Circular structures)

زمانی که دیاپیرهای منفرد فرسایش می‌یابند و یا سطوح و ژرفای متوسط نفوذ رخمنون می‌یابند، اغلب به صورت طرح‌های کم و بیش دایره‌ای جلوه‌گر می‌شوند. این ساختارها گاهی اوقات همراه با دیگر سیماهای آذرین همانند دایک‌های حلقوی (Ring dykes)، پهنه‌های قیفی شکل (Ring sheets) و دایک‌های شعاعی (Cone sheets) (Phillips, 1974)؛ مجموعه‌های حلقوی (Radial dykes) را تشکیل می‌دهند (Price & Cosgrove, 1990).

در نتیجه نفوذ مگما در امتداد شکستگی‌های برشی‌ای که در اثر نشست کردن مگما در چار بازشدگی شده‌اند، دایک‌های حلقوی ایجاد می‌شوند. تشکیل دایک‌های شعاعی و پهنه‌های قیفی شکل در نتیجه افزایش روبه‌بالای عمل فشار مگما بی روی سنگ‌های میزان است. دایک‌های حلقوی نتیجه شکستگی‌های ساده هیدرولیکی هستند. اما پهنه‌های قیفی شکل، در اثر تنش‌های دینامیکی القاء شده در پاسخ به انبساط سریع مگما ایجاد می‌شوند (Phillips, 1974).

بنابر توضیح‌های بالا، ساختارهای حلقوی به طور معمول بازتابی از ساختارهای ژرفی و بویژه توده‌های نفوذی پنهان هستند.

همان‌طور که در نقشه خطواره‌ها (شکل ۳) دیده می‌شود، یک ناهنجاری یا ساختار حلقوی دارای شدت بالای مغناطیسی (رنگ بنفش) به طول حدود ۳ کیلومتر در خاور منطقه و نیز خاور دهکده هیرد قابل شناسایی است که به احتمال در اثر نفوذ یک توده آذرین به وجود آمده است. بخش‌های باختری این ساختار، به شدت تحت تأثیر خطواره‌هایی با جهت‌گیری شمال - جنوب تا شمال باختر - جنوب خاور قرار گرفته و قطع شده است. در نتیجه ساختار مذکور به نسبت سایر خطواره‌های بخش‌های باختری خود از تقدم برخوردار می‌باشد. محل این ساختار به طور کامل توسط نهشته‌های

مزوزویک - ابتدای ترشیر است (Tirrul et al., 1983). سامانه گسلی نهیندان که تمامی ایالت ساختاری سیستان را در بر می‌گیرد، در بخش شمالی با تغییر جهت به طرف باخته به صورت تداخلی وارد پهنه لوت شده است (شکل ۱). در پهنه‌های بُرُشی وابسته به پهنه گسلی نهیندان، ذخایر معدنی فراوانی بر جای گذاشته شده است که از هندسه گسل پیروی می‌کنند. ناحیه معدنی هیرد نیز در حقیقت در جنوبی ترین محل این تغییر روند ساختاری واقع شده که به طور کامل تحت تأثیر اُریب‌های (Splay) سامانه گسلی نهیندان قرار گرفته است. بررسی نمودار گل سرخی شکستگی‌های پی‌سنگی مذکور به خوبی گویای وجود و تأثیر مهم شکستگی‌های با راستای N-S به پیروی از سامانه گسلی نهیندان و نیز شکستگی‌های دارای راستای NW-SE به پیروی از اُریب‌های همان سامانه در این ناحیه معدنی است. علاوه بر این، خطواره‌هایی با جهت گیری  $45^{\circ}$ - $60^{\circ}$  درجه نیز در نقشه مذکور دیده می‌شوند که از فراوانی کمتری برخوردار بوده و از لحاظ مغناطیسی، ساختارهایی فرعی در منطقه محسوب می‌شوند و منطبق بر گسل‌های معکوس و نیز گسل‌های راستالغز چپ گرد هستند. روند ساختاری NE-SW مشاهده شده طی تفسیر داده‌های ماهواره‌ای همراه با برداشت‌های صحرایی، اغلب منطبق بر گسل‌های معکوسی همانند گسل کمرسرخ و گسل سیه کمر هستند. باز نشدن این ساختارها طی تفسیر داده‌های مغناطیسی هوازی، می‌تواند گویای اثر ضعیف این دسته از شکستگی‌ها در پی‌سنگ باشد. بنابراین احتمال می‌رود این گسل‌ها در ژرفان، شیبی نزدیک به افق و حالت قاشقی پیدا کرده و در نتیجه، اثر آنها در داده‌های مغناطیسی هوازی به خوبی نمایان نشده است.

ناحیه هیرد با جایگاه ویژه زمین‌ساختی که از آن یاد شد، از طرفی تحت تأثیر حرکت رو به شمال قطعه باخته از سیستم گسلی راستالغز راست بر نهیندان؛ متتحمل راندگی‌هایی (Thrusting) در راستای گسل‌های با روند خاوری - باخته و نیز چین خوردگی شده است. چنانچه بررسی‌های صحرایی نیز تأیید کننده وجود مؤلفه شبی‌لغز معکوس در دو گسل اصلی خاوری - باخته (گسل کوه کمرسرخ و گسل کوه سیه کمر) در جنوب منطقه دارد. در هر دو مورد نیز شبی‌صفحات گسلی حدود  $20^{\circ}$ - $30^{\circ}$  درجه به سوی جنوب و سوی حرکت به شمال اندازه گرفته شده است. از طرفی اُریب‌های شمالی سامانه گسلی یادشده، با وارد آوردن توانمند نیروهای برشی - فشارشی، مسبب ایجاد سیستم‌های دگرگشکلی برشی - فشارشی (Transpressional) در منطقه شده‌اند. جالب توجه این که دگرسانی و کانی‌زایی‌های مشاهده شده در منطقه، در یک چنین رژیم زمین‌ساختی شکل گرفته‌اند. بر پایه تفسیر داده‌های مغناطیسی هوازی و ماهواره‌ای همراه با برداشت‌های صحرایی، گسل‌های با راستای NW-SE (آزمودت  $310^{\circ}$  درجه)، به عنوان پهنه‌های جابه‌جایی اصلی در سیستم دگرگشکلی مذکور عمل نموده‌اند.

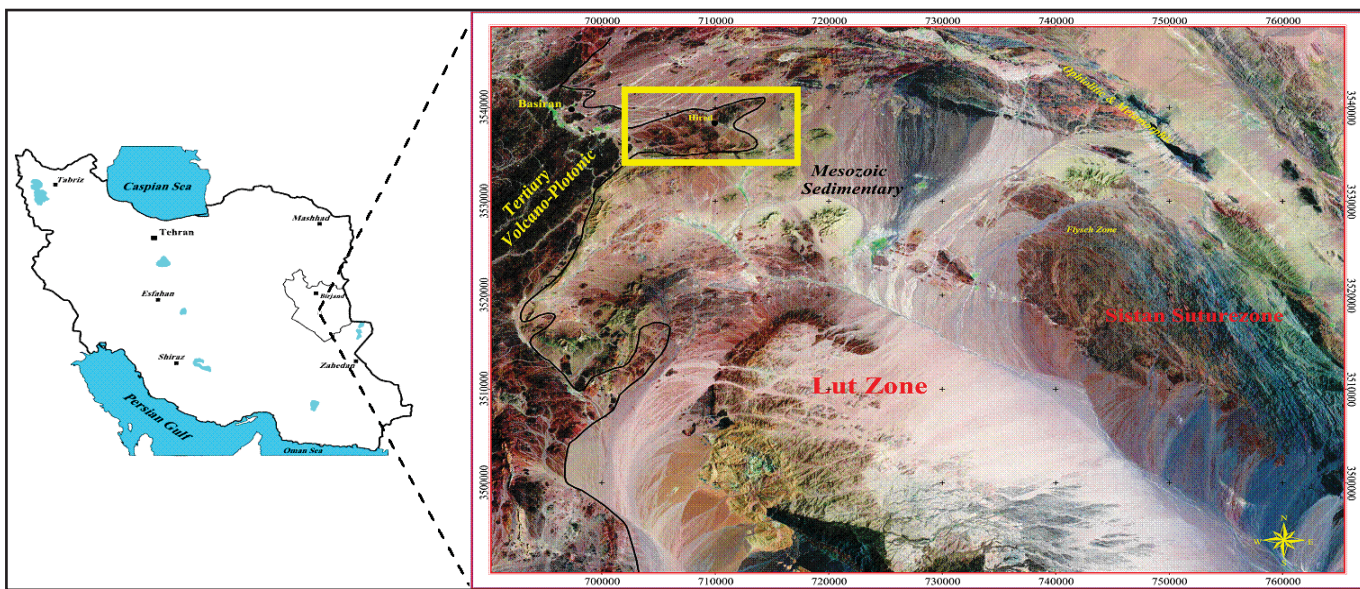
### سپاسگزاری

بدین وسیله از سازمان زمین‌شناسی و اکتشافات معدنی کشور بویژه گروه ژئوفیزیک هوازی که نهایت همکاری را در خصوص در اختیار گذاشتن داده‌های ژئوفیزیک منطقه داشته‌اند، صمیمانه قدردانی می‌شود.

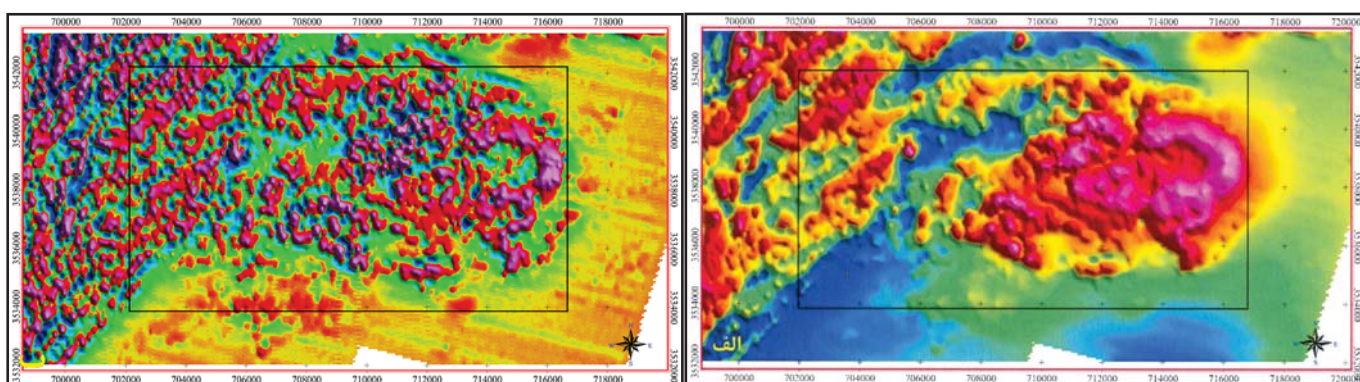
و هم در داده‌های ماهواره‌ای به خوبی نمایان شده است. یک روند ساختاری مهم دیگر جهت گیری NE-SW است که با استفاده از داده‌های ماهواره‌ای به خوبی نمایان گشته ولي طی تفسیر داده‌های مغناطیسی هوازی اثر بسیار ضعیف و فرعی از خود نشان می‌دهد که ناشی از عدم تأثیر و یا تأثیر ضعیف این دسته از شکستگی‌ها بر روی پی‌سنگ است.

از لحاظ میزان اهمیت خطواره‌های مغناطیسی شناسایی شده و ارتباط آنها با کانی‌سازی در منطقه مورد مطالعه باید گفت که نواحی کانه‌دار و مهم از نظر زمین‌شناسی اقتصادی، هموارانی و ارتباط مکانی نزدیکی با محل تراکم شکستگی‌های پی‌سنگی نشان می‌دهند و در واقع مناطق امیدبخش اکتشافی طلای معرفی شده در منطقه با محل تقاطع دسته‌جات مختلف و نیز محل افزایش تراکم شکستگی‌های هموارانی جالب توجهی نشان می‌دهند. کانی‌سازی در محدوده اکتشافی شماره (۱) در طول یک پهنه بُرُشی - گسلی در دامنه‌های شمالی و خاوری کوه سیه کمر رخ داده است. دو گسل اصلی در این محدوده، گسل‌های خاور کوه سیه کمر و گسل کوه سیه کمر؛ به عنوان معتبر مناسب برای راه‌یابی محلول‌های کانه‌دار عمل نموده‌اند. گسل خاور سیه کمر با حدود ۶۷۰۰ متر طول و با راستای شمال باخته - جنوب خاور است که دارای سازوکار امتدادلغز راست‌گرد همراه با مؤلفه شبی‌لغز معکوس است. گسل سیه کمر نیز به عنوان یکی از اصلی‌ترین گسل‌های محدوده مطالعاتی، با حدود ۱ کیلومتر طول در دامنه‌های شمالی کوه سیه کمر در جنوب باخته هیرد واقع شده که توسط یک سری شکستگی‌های شمالی - جنوبی قطع شده است. راستای عمومی گسل دارای آزمودت  $45^{\circ}$ - $53^{\circ}$  درجه به سوی جنوب خاور دارای سازوکار معکوس است. همان گونه که در شکل‌های ۳ و ۴ مشاهده می‌شود، اثر پهنه‌های بُرُشی - گسلی مذکور و نیز شکستگی‌های شمالی - جنوبی قطع کننده گسل معکوس سیه کمر، با استفاده از تفسیر داده‌های مغناطیسی هوازی و ماهواره‌ای نمایان گشته است. در محدوده اکتشافی شماره ۳ نیز قسمتی از کانی‌سازی در طول یک پهنه سیلیسی به طول ۸۰۰ متر و با راستای شمالی - جنوبی که به طور دقیق منطبق بر یک پهنه باریک دارای حداقل مغناطیس (رنگ آبی) است رخ داده است؛ پهنه‌ای گسلی که به نظر می‌رسد معتبر مناسب برای راه‌یابی محلول‌های ماگمایی - گرمابی کانی‌ساز به سطح زمین بوده است. منشأ محلول‌های کانه‌دار مذکور توده‌های گرانیستوپیدی واقع در بخش خاوری محدوده اکتشافی شماره ۱ است (علی‌محمدی، ۱۳۸۶). به غیر از دو مورد یاد شده در بالا، در سایر موارد نیز اطباق مناسی بین پهنه‌های دگرسان شده و کانه‌دار با خطواره‌های مغناطیسی شناسایی شده وجود دارد به طوری که جهت گیری پهنه‌های بُرُشی - گسلی کانه‌دار و دگرسان شده و نیز رگه‌های کانه‌دار منطقه به طور کامل مشابه یکی از دو جهت گیری شاخص شکستگی‌های پی‌سنگی یعنی NW-SE است (نمودار ۲).

همان‌طور که ذکر شد، محدوده اکتشافی هیرد در خاور خُرد قاره ایران مرکزی و حاشیه خاور - شمال خاوری پهنه لوت و در نزدیکی (متهی‌الیه باخته) پهنه زمین درز سیستان، واقع شده است. پهنه زمین درز سیستان، در خاور ایران و با راستای کلی شمال - جنوب، در واقع پهنه‌ای برخورده است که حاصل بسته شدن باریکه اقیانوسی خاور ایران بین پهنه لوت و قطعه افغان در انتهای



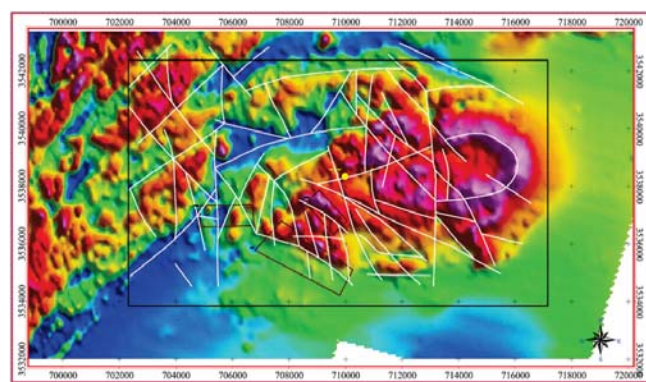
شکل ۱- موقعیت ناحیه مورد مطالعه (کادر زرد) در شمال خاور پهنه لوت (جنوب بیرجند) و در حاشیه باختری پهنه زمین درز سیستان، واقع در مجموعه واحدهای آتشفسانی - نفوذی ترشیری و رسویی مژوزوییک



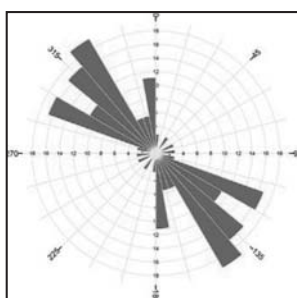
شکل ۲- (الف) نقشه شدت کل میدان مغناطیسی (برگردان به قطب شده) ب، نقشه مشتق اول قائم؛ کادر مشکی محدوده مورد مطالعه را نشان می دهد.  
مناطق با رنگ بنفش، از پیشنه شدت مغناطیس و مناطق با رنگ آبی، از میزان کمینه آن؛ برخوردار هستند.)



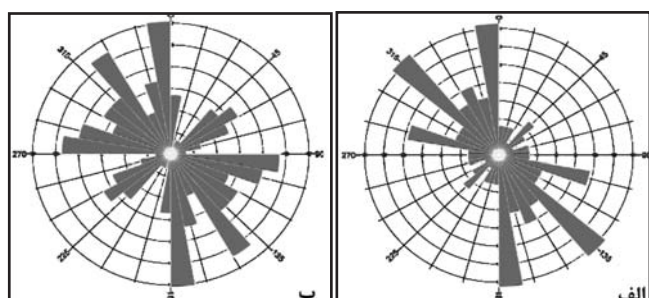
شکل ۴- نقشه مجموع شکستگی های منطقه با استفاده از پردازش داده های ماهواره ای و برداشت های صحرایی که روی تصویر رنگی 321:321:321 ASTER سنجنده RGB، به نمایش آمده است. کادرهای رنگی، معروف نواحی امیدبخش اکتشافی طلا با شماره های ۱، ۲ و ۳ هستند. خطوط نقطه چین سرخ، معروف شکستگی های احتمالی و پنهان هستند.



شکل ۳- نقشه خطواره های مغناطیسی حاصل از تفسیر نقشه RTP و مشتق اول قائم، کادرهای کوچک، معروف نواحی امیدبخش اکتشافی طلا بشماره های ۱، ۲ و ۳ هستند.



نمودار-۲-نمودار گل سرخی رگه‌های سیلیسی و پهنه‌های گسلی، کانه‌دار و دگرسان شده



نمودار-۱-نمودارهای گل سرخی (الف) خطواره‌های مغناطیسی حاصل از تفسیر داده‌های مغناطیسی هوایی و (ب) مجموع شکستگی‌های دارای جلوه سطحی حاصل از پردازش داده‌های ماهواره‌ای و برداشت‌های صحرایی ناحیه معدنی هیرد

### کتابنگاری

- عسگری، ع. و صفری، م.، ۱۳۸۲- گزارش نقشه زمین‌شناسی معدنی با مقیاس ۱:۲۰۰۰۰ ناحیه امید بخش معدنی طلای هیرد (شمال باخته نهباند)، طرح اکتشافات مواد معدنی در جنوب خراسان، سازمان زمین‌شناسی و اکتشافات معدنی کشور.
- علیمحمدی، م.، ۱۳۸۶- کانی‌شناسی، ژئوشیمی، دورسنگی و ژئر کانسار طلای هیرد (جنوب بیرجند)، پایان‌نامه کارشناسی ارشد زمین‌شناسی اقتصادی، دانشگاه شهید بهشتی، ۲۴۵ صفحه.
- علیمحمدی، م.، بهنیا، پ.، خاکزاد، ا. و قربانی، م.ع.، ۱۳۸۵- شناسایی و تفکیک کانی‌های دگرسانی هیدروترمال همراه با کانه‌زایی طلا به کمک پردازش داده‌های ستونجنده ASTER در ناحیه معدنی هیرد (جنوب بیرجند)، بیست و پنجمین گردهمایی علوم زمین، سازمان زمین‌شناسی و اکتشافات معدنی کشور.
- قربانی، م.ع.، ۱۳۸۷- تحلیل ساختاری ناحیه معدنی هیرد (جنوب بیرجند) و پتروفابریک پهنه‌های بُرشی طلادر، پایان‌نامه کارشناسی ارشد زمین‌شناسی ساختمانی، دانشگاه شهید بهشتی، ۱۰۶ صفحه.

### References

- Korhonen, K., Paanaaen, M. & Paulamaki, S., 2004- Interpretation of lineaments from airborne geophysical and topographic data, Geological Survey of Finland.
- Neawsuparp, K., Charusiri, P. & Meyers, J., 2005- New processing of airborne magnetic and electromagnetic data and interpretation for subsurface structures in the Loei area, Northeastern Thailand, Science Asia, 31: 283-298.
- Phillips, W.J., 1974- The dynamic emplacement of cone sheets, Tectonophysics, 24: 69-84.
- Price, N.J. & Cosgrove, J.W, 1990- Analysis of geological structures, Cambridge University Press, 502 p.
- Sabins, F.F., 1999- Remote sensing for mineral exploration, Ore Geology Reviews, 14: 157-183.
- Silva, A.M., Pires, A.C. & McCaffery, A., 2003- Application of airborne geophysical data to mineral exploration in the uneven exposed terrains of the Rio Das Velhas greenstone belt, Revista Brasileira de Geociencias, 33: 17-28.
- Sirvastav, S.K., Bhattacharya, A., Kamaraju, M.V.V., Sreenivasa Reddy, G., Shrimal, A.K., Mehta, D.S., List, F.K. & Burger, H., 2000- Remote sensing and GIS for locating favourable zones of lead-zinc-copper mineralization in Rajputra-Dariba area, Rajasthan, India, International Journal of Remote sensing, 21, N. 17: 3253-3267.
- Tirrell, R., Bell, I.R., Griffis, R.J. & Camp, V.E., 1983- The Sistan suture zone of eastern Iran, Geological Society America Bulletin, 94:134-150.

**Key words:** Clay minerals, Gurpi Formation, Digenesis, XRD, SEM, NGS log

For Persian Version see pages 111 to 120

E-mail: hosseini@khayam.ut.ac.ir

## **Structural Analysis of Hired Mining Area and its Relation with Gold Mineralization using Aeromagnetic Data, Satellite Images and Field Studies, South of Birjand, Iran**

**By: M.A.Ghorbani\*, M. Mohajel\*\*, M. Pourkermani\*\*\*, M. Alimohammadi\* & H. Kheyrollahi\*\*\*\***

\*Faculty of Geosciences, Shahid Beheshti University, Tehran, Iran

\*\*Department of Geology, Tarbiat Modares University, Tehran, Iran

\*\*\*Islamic Azad University, North Tehran Branch, Tehran, Iran

\*\*\*\*Geological Survey of Iran, Tehran, Iran

Received: 2008 March 10      Accepted: 2008 September 30

### **Abstract**

Hired area is located in the northeastern border of Lut zone and western vicinity of Sistan suture zone. Northern part of Sistan suture zone trending NW-SE with complicated structure is the locality of several considerable ore deposits. We have employed aeromagnetic data, satellite images and field observations to consider the relation of surface and subsurface structures to the significant superficial structural features of Hired mining area. Aeromagnetic data were processed by applying appropriate filters including Reduction to pole and First vertical derivative for proper distinguishing the magnetic features. In addition, highpass filters were used for edge sharpening of the ASTER images. Aeromagnetic data have shown two main N-S and NW-SE structural directions which follow the northern Sistan suture zone. Presence of mineralized and altered veins and brittle shear zones with the same trend around the fractures is noticeable. Moreover, fractures intersections and conjuncture places are dramatically compatible with mineralization areas. Another result from aeromagnetic data is identification of a circular structure in the east of study area. The gold mineralization has occurred in the west part of mentioned structure which is strongly affected by NNW striking features. Satellite images in addition to confirmation of aforesaid structural trends imply a third structural NE-SW strike. This structure is not vivid on the aeromagnetic map and has only an ambiguous trace on it. Our field measurements verify this new structural trend as well.

**Key words:** Hired, Sistan suture zone, Aeromagnetics, Structural geology, Magnetic lineament

For Persian Version see pages 121 to 126

E-mail: ghorbanic@yahoo.com

## **Structural Geometry of Taleqan Mountains; an Evidence for Structural Evolution of South Central Alborz Range from Inversion to Transpression Tectonics**

**By: S.Madanipour\* & A.Yassaghi\***

\*Department of Geology, Tarbiat Modares University

Received: 2008 January 22      Accepted: 2008 November 17

### **Abstract**

Taleqan Mountains located in South-Central Alborz range accommodate one of the best stratigraphic sequences of the range. The area bounded by the Taleqan fault in the north and the Mosha fault in the south. These faults separate Paleozoic-Mesozoic rocks from southern and northern Tertiary rocks. In this paper structural geometry of these faults is analyzed to unravel structural evolution of the range which interpreted to be initiated as inversion tectonics then followed by transpression tectonics. The Mosha fault in the eastern part of the